

# مدل‌سازی رفتار و بررسی تأثیر شرایط غیراشباع در خاک‌های دانه‌یی در پارامترهای مقاومت برشی به روش اجزاء منفصل

کیخسرو تورانی (کارشناس ارشد)

احمدرضا محبوبی اردکانی\* (دانشیار)

دانشکده‌ی مهندسی عمران و محیط زیست، دانشگاه شهید بهشتی

مهندسی عمران شریف، (پاییز ۱۳۹۷)  
دوره‌ی ۲ - ۳۴، شماره‌ی ۲/۳، ص. ۵۷-۴۷

خاک محیطی سه‌فازی، شامل ذرات جامد، منافذ و سیال منفذی است. در شرایط غیراشباع، پدیده‌ی مویبندی موجب نیروی کششی بین ذرات خاک ناشی از مویبندی به صورت پیوندهای منیسی می‌شود. روش اجزاء منفصل (DEM)، توانایی شبیه‌سازی اندرکنش بین ذرات خاک را دارد. در نوشتار حاضر، به مدل‌سازی یک محیط دانه‌یی غیراشباع با استفاده از روش اجزاء منفصل و با در نظر گرفتن نیروی کششی بین ذرات ناشی از مویبندی پرداخته و تأثیر درجه‌ی اشباع در پارامترهای مقاومت برشی بررسی شده است. بدین منظور با برنامه‌نویسی و اصلاح قانون تماس و با در نظر گرفتن کشش مویبندی در مدل اجزاء منفصل  $PFC^2D$ ، آزمایش‌های سه‌محوری شبیه‌سازی شده است. نتایج نشان می‌دهد که نیروهای کششی بین ذرات ناشی از منیسک‌های مایع در پارامترهای معیار گسیختگی موهر - کولمب تأثیر می‌گذارند، به نحوی که نیروی کششی ایجاد شده بین ذرات به صورت چسبندگی ظاهر می‌شود، اما در زاویه‌ی اصطکاک داخلی تأثیری ندارد.

واژگان کلیدی: روش اجزاء منفصل، نیروی مویبندی، درجه‌ی اشباع، پل مایع (منیسک)، چسبندگی ظاهری، معیار موهر - کولمب.

keykhosro.turani@gmail.com  
a\_mahboubi@sbu.ac.ir

## ۱. مقدمه

دومین برتری مدل ریزمقیاس نسبت به مدل درشت‌مقیاس این است که می‌توان از آن برای شناسایی ارتباط‌های بین ذرات در یک مجموعه استفاده کرد. مدل ریزمقیاس برای تشریح سینماتیک محلی و یا شناسایی ایجاد و حذف زنجیره‌ی نیرویی بین ذرات مناسب است.

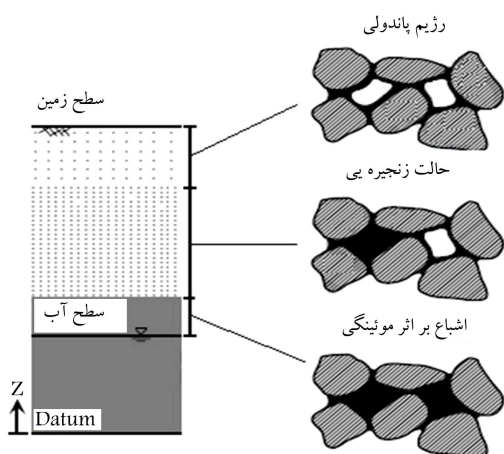
بر این اساس، روش اجزاء منفصل (DEM)<sup>۳</sup>، به عنوان روشی مبتنی بر تحلیل آثار برهم‌کنش ذرات در یکدیگر، امکان بررسی پارامترهای میکرو و پیش‌بینی رفتار ماکروسکوپی یک مجموعه‌ی ذرات در خاک‌های غیراشباع را دارد. بنابراین می‌توان گفت که روش اجزاء منفصل، ابزاری قدرتمند جهت پیش‌بینی رفتار مصالح دانه‌یی تحت شرایط مختلف است.<sup>[۱]</sup> همچنین امکان مطالعه‌ی عددی تغییرشکل و مشخصات مقاومت خاک‌های غیراشباع، با استفاده از روش اجزاء منفصل به واسطه‌ی در نظر گرفتن نیروی چسبندگی بین ذره‌یی وجود دارد.<sup>[۲]</sup> به عبارت دیگر، مشخصه‌ی منفصل و ذره‌یی روش مذکور موجب شناخت جامع مصالح در مقیاس دانه‌یی و نتیجتاً رفتار مناسب سینماتیک و مکانیکی در مقیاس مذکور می‌شود. خصوصیات مقیاس دانه‌یی به مواردی مانند: ترکیب، شکل، اندازه و وضعیت سطح دانه‌ها بستگی دارد. به دلیل پیچیدگی و تنوع شکل‌های ممکن برای ذرات، مجموعه‌یی از ذرات کروی برای مطالعه در نظر گرفته شده است. محیط شرح داده‌شده براساس برخی مفروضات مانند: دانه‌های کروی شکل و کاملاً صاف (بدون ناهمواری) و متشکل از

با افزایش پیچیدگی طراحی پروژه‌های عمرانی در سطح دنیا، بررسی دقیق‌تر رفتار خاک‌ها از نظر مهندسی به عنوان بستر سازه اهمیت بیشتری پیدا کرده است. بنابراین روابط مکانیک خاک کلاسیک که بر پایه‌ی شرایط خاک‌های کاملاً اشباع یا خشک پایه‌ریزی شده‌اند، نیازمند مکملی به نام مکانیک خاک غیراشباع هستند که محیط خاک را با فرض سه فاز آب، هوا و دانه‌های جامد خاک بررسی می‌کند. چنین محیطی، رفتار پیچیده‌یی تحت بارگذاری‌های مختلف دارد که دلیل آن، آثار برهم‌کنش فازها در یکدیگر است. تاکنون رفتار خاک‌های غیراشباع و اندرکنش فازهای مختلف خاک به وسیله‌ی مدل‌های درشت‌مقیاس<sup>۱</sup> و ریزمقیاس<sup>۲</sup> بررسی شده است. مدل‌های درشت‌مقیاس، اگرچه کم و بیش در مدل‌سازی و پیش‌بینی رفتار در بعضی از مسیرهای تنش موفق بوده‌اند، ولی به‌طور کامل اثری از آنچه در ساختار ذره‌یی خاک می‌گذرد، در آن‌ها به چشم نمی‌خورد؛ و به عبارت دیگر، مدل‌های درشت‌مقیاس از رفتار خاک در مقیاس ذرات نشأت نمی‌گیرند و اثری از فیزیک و تغییرات فیزیکی که در ماده به وجود می‌آید، در آن‌ها وجود ندارد. در واقع در مدل ریزمقیاس می‌توان تک‌تک ذرات را در نظر گرفت و فرایند اندرکنش بین ذرات مجاور را بررسی کرد.

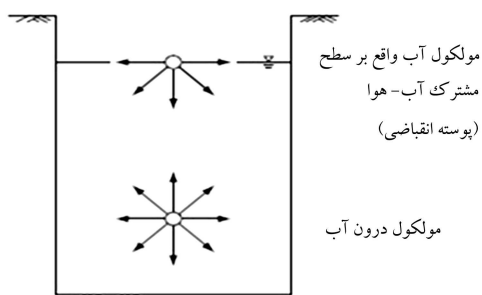
\* نویسنده مسئول

تاریخ: دریافت ۱۳۹۵/۳/۳۱، اصلاحیه ۱۳۹۵/۹/۲۰، پذیرش ۱۳۹۵/۱۰/۱۸.

DOI:10.24200/J30.2018.1424



شکل ۱. سه حالت مختلف اشباع‌شدگی در یک خاک [۶].



شکل ۲. کشش سطحی در فصل مشترک آب و هوا و نیروهای کششی بر مولکول آب [۷].

باشید زمانی که فاز آب، دیگر پیوسته نیست، رژیم پاندولی شروع می‌شود که به این معناست که فاز آب بین تمامی ذرات پیوسته نیست و فقط بین جفت ذرات شکل می‌گیرد. لازم به ذکر است که رژیم پاندولی در درجه‌ی اشباع پایین‌تر از ۳۰٪ روی می‌دهد.

با افزایش میزان آب در خاک و پُرشدگی برخی از منافذ آب، حالت زنجیره‌بی شکل می‌گیرد و تا درجه‌ی اشباع‌شدگی بالایی ادامه می‌یابد (شکل ۱). در نهایت، هنگامی که منافذ با آب مویینه پر می‌شود، نمونه به حالت اشباع کامل می‌رسد. حضور آب مویینه در منافذ خاک موجب ایجاد نیروی جاذبه در بین ذرات در تماس می‌شود. این نیروهای جاذبه به چسبندگی ظاهری کمک می‌کند و به عنوان مقاومت کششی تمام سیستم قابل تفسیر است [۵].

## ۲.۲. پدیده‌ی کشش سطحی

فصل مشترک هوا - آب یا به بیان دیگر پوسته‌ی انقباضی، خاصیتی دارد که به آن کشش سطحی می‌گویند. پدیده‌ی کشش سطحی ناشی از نیروهای بین مولکولی در پوسته‌ی انقباضی است. این نیروها با نیروهایی که به یک مولکول آب در زیر سطح آب وارد می‌شود، متفاوت است. یک مولکول آب در زیر سطح متحمل نیروهای مساوی در تمام جهات می‌شود و لذا هیچ نیروی نامتعادلی وجود نخواهد داشت (شکل ۲). در حالی که مولکول‌های آب بر روی پوسته‌ی انقباضی نیروی نامتعادلی را به سمت داخل مایع متحمل می‌شوند (شکل ۲). برای آنکه پوسته‌ی انقباضی در حال تعادل باشد، یک نیروی کششی در طول پوسته به وجود می‌آید. خاصیت پوسته‌ی انقباضی که موجب بروز نیروی کششی ذکرشده در پوسته می‌شود

یک ماده‌ی منحصر به فرد است. ولی در واقع، سطح حقیقی دانه، همیشه زبری دارد که می‌تواند موجب تغییر در نیروهای موینگی شود [۳].

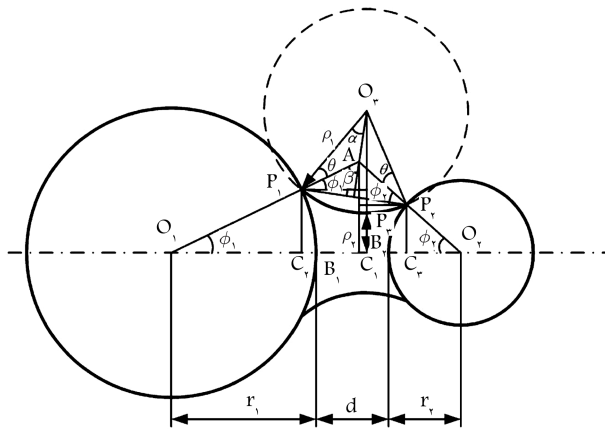
روش اجزاء منفصل، برای اولین بار در سال ۱۹۷۹، برای شبیه‌سازی رفتار محیط‌های ناپیوسته پیشنهاد شد [۴]. روش اجزاء منفصل مبتنی بر اندرکنش مکانیکی ذرات مجزا بر روی یکدیگر است که در آن ذرات منفرد به صورت اجسام صلب مدل‌سازی می‌شوند. هر ذره می‌تواند در تماس با ذرات مجاور و یا مرزهای محیط باشد. تماس بین دو ذره براساس قانون تماس تعریف می‌شود که بسته به پدیده‌ی مورد مطالعه‌ی قانون تماس می‌تواند اجزاء لازم برای شبیه‌سازی واقعیت را داشته باشد. ساده‌ترین مدل تماس مدل فنر و میراگر است. فنر و میراگر در هر دو جهت قائم و مماسی در تماس در نظر گرفته می‌شوند. فنر در جهت قائم به منظور مدل‌سازی نیروی دافعه (یا کششی) بین دو ذره و فنر در جهت مماسی برای مدل‌سازی نیروی برشی در نظر گرفته می‌شوند. اگر نیروی مماسی به حد اصطکاک کولمب برسد، از آن پس، ذره اجازه‌ی لغزش می‌یابد. نیروهای تولیدشده در تماس، براساس میزان هم‌پوشانی ذرات در تماس با یکدیگر و سختی فنر محاسبه می‌شوند.

در نوشتار حاضر، رفتار مصالح دانه‌بی غیراشباع در رژیم پاندولی با در نظر گرفتن آثار پل مایع (منیسک) و با استفاده از روش اجزاء منفصل (DEM) مدل‌سازی شده است. این کار در نرم‌افزار اجزاء منفصل PFC<sup>2D</sup> و با نوشتن یک مدل تماسی جدید، که بتواند نیروهای جاذبه‌ی موینگی را مدل‌سازی کند و با استفاده از زبان برنامه‌نویسی C++ انجام شده است. نرم‌افزار C++، به‌طور پیش‌فرض توانایی محاسبه‌ی نیروی کششی را ندارد، که مشکل آن با کد تهیه‌شده حل شده است. در مدل مذکور، نیروی موینگی به‌عنوان تابعی از فاصله‌ی بین ذره‌ی بی، حجم پل آبی، کشش سطحی و درجه‌ی اشباع محاسبه شده است. در واقع، هدف شبیه‌سازی، یافتن نحوه‌ی رفتار خاک غیراشباع بر مبنای عملکرد تک‌تک ذرات است. مدل پیشنهادی قادر به ارائه‌ی خصوصیات اصلی مکانیکی خاک دانه‌بی غیراشباع است. در ادامه، نحوه‌ی عملکرد مدل در شبیه‌سازی آزمایش دو محوری، بر روی نمونه‌ها برای بررسی اثر درجه‌ی اشباع خاک در پارامترهای معیار گسیختگی موهر - کولمب استفاده شده است. از هدف‌های دیگر مورد نظر در نوشتار حاضر، می‌توان به صحت‌سنجی روش مذکور و مقایسه‌ی نتایج آن با نتایج مدل‌سازی‌های عددی دیگر و نتایج آزمایش‌های کلاسیک که توسط سایر پژوهشگران صورت گرفته است، اشاره کرد.

## ۲. پدیده‌ی موینگی

### ۲.۱.۲. دسته‌بندی خاک‌های مرطوب براساس میزان اشباع‌شدگی

خاک مجموعه‌ی بی از ذرات جامد، همچنین حفره‌ها و آب بین آنهاست. بررسی آثار میزان رطوبت خاک در مسائل ژئوتکنیک، اهمیت زیادی دارد. در واقع خاک‌ها را به‌طور کلی از نظر میزان رطوبت می‌توان به ۵ دسته‌ی کلی تقسیم کرد: نخست خاک در حالت خشک بوده و تمامی حفره‌ها توسط هوا اشغال شده است. همان‌طور که آب به سیستم اضافه می‌شود، ابتدا لایه‌های جاذب شروع به شکل‌گیری در سطح ذرات می‌کند و سپس پل مایع بین ذرات در تماس و یا نزدیک به یکدیگر ایجاد می‌شود. این وضعیت در محدوده‌ی بی به‌عنوان رژیم پاندولی<sup>۴</sup> شکل می‌گیرد (شکل ۱). تا زمانی که آب تراوش نکند، امکان شبیه‌سازی آثار آب در رژیم پاندولی وجود دارد. در واقع، رژیم پاندولی حالتی از اشباع‌شدگی است، که محیط متخلخل در کمترین وضعیت اشباع خود است که امکان تشکیل پل‌های مایع بین ذرات وجود دارد. توجه داشته



شکل ۳. هندسه‌ی اندرکنش کره - کره با پل مایع.<sup>[۱۲]</sup>

۳ به دست می‌آیند:

$$\rho_1 = \frac{r_1(1 - \cos \phi_1) + d + r_2(1 - \cos \phi_2)}{\cos(\phi_1 + \theta) + \cos(\phi_2 + \theta)} \quad (2)$$

$$\rho_2 = r_1 \sin \phi_1 - \rho_1 [1 - \sin(\phi_1 + \theta)] \quad (3)$$

حجم پل مایع را می‌توان با استفاده از روابط شعاع انحنا  $\rho_1$  و  $\rho_2$ ، زاویه‌ی ترشدگی  $(\phi)$ ، و زاویه‌ی تماس  $(\theta)$  تعیین کرد. به هر حال زاویه‌ی ترشدگی ذره‌ی بزرگ‌تر را نمی‌توان به‌طور صریح تعیین کرد، بنابراین برای تعیین  $\phi$  به‌عنوان تابعی از حجم منیسک، فاصله‌ی جدایی بین دو ذره و زاویه‌ی تماسی به روش سعی و خطا عمل می‌شود.<sup>[۱۳]</sup> حجم پل مایع  $(V)$ ، را می‌توان با ارزیابی حجم  $V_1$  حاصل از دوران کمان  $P_1P_2P_3$  حول محور  $O_1O_2$  و سپس کاهش حجم قطعات کره  $V_2$ ، به‌صورت رابطه‌ی ۴ تعیین کرد؛ بنابراین، در صورتی که  $V$  مشخص باشد، می‌توان  $\phi$  را از معادلات اخیر محاسبه کرد:<sup>[۱۲]</sup>

$$a = \rho_1 \sin(\phi_2 + \theta) + r_2 \sin \phi_2 \quad (4)$$

$$V_1 = \pi \left\{ \begin{array}{l} (a^2 + \rho_1^2) \rho_1 [\cos(\phi_1 + \theta) + \cos(\phi_2 + \theta)] \\ - \frac{1}{3} \rho_1^3 [\cos^3(\phi_1 + \theta) + \cos^3(\phi_2 + \theta)] \\ - a \rho_1^2 \left[ \begin{array}{l} \sin(\phi_1 + \theta) \cos(\phi_1 + \theta) \\ + \sin(\phi_2 + \theta) \cos(\phi_2 + \theta) \end{array} \right] \\ + a \rho_1^2 (\phi_1 + \phi_2 + 2\theta - \pi) \end{array} \right\} \quad (5)$$

$$V_2 = \frac{\pi}{3} \left[ (2 - 3 \cos \phi_1 + \cos^3 \phi_1) r_1^3 + (2 - 3 \cos \phi_2 + \cos^3 \phi_2) r_2^3 \right] \quad (6)$$

$$V = V_1 - V_2 \quad (7)$$

با تعیین پارامترهای هندسه‌ی پل مایع، امکان محاسبه‌ی نیروی مویینه فراهم می‌شود. محاسبه‌ی نیروی مویینه اولین بار در سال ۱۹۲۶ و با در نظر گرفتن این فرض که شکل پل مایع به‌صورت حلقوی است، انجام<sup>[۱۴]</sup> و دو روش مختلف برای تخمین آن پیشنهاد شد. در روش اول، نیرو در گردنه‌ی<sup>A</sup> منیسک تخمین زده می‌شود؛<sup>[۱۵]</sup> و در روش دوم که به روش تماسی شناخته می‌شود، نیرو در محل تماس پل مایع با دانه‌ی جامد برآورد می‌شود.<sup>[۱۶]</sup> نشان داده شده است که هر دو روش دقت قابل قبولی از نظر تئوری، تجربی، و عددی دارند.<sup>[۱۰]</sup>

در روش اول، فرض بر این است که نیروی مویینه شامل سهمی از فشار مویینه‌ی  $(P_c)$  و همچنین کشش سطحی  $(T_s)$  است. نیروی کشش سطحی محوری

را کشش سطحی  $(T_s)$  می‌نامند. مقدار نیروی کششی سطحی بر حسب واحد طول بیان می‌شود و بر سطح تماس مماس است.<sup>[۱۷-۱۶]</sup> مویینه‌ی را نیز می‌توان با کشش سطحی در حد فاصل بین دو مایع غیرقابل اختلاط و یا بین یک مایع و گاز توضیح داد.

کشش سطحی باعث می‌شود تا پوسته‌ی انقباضی همچون غشاء کشسان رفتار کند. در صورتی که غشاء کشسان دو بُعدی در ۲ وجه خود تحت اثر کشش قرار گیرد، برای آنکه در وضعیت تعادل باشد، باید سطح آن یک شکل مقعر به خود بگیرد و جهت تقعر آن نیز به سمت فشار بیشتر باشد. در نتیجه مولکول‌های سطح، به جرم مایع جذب می‌شوند و سطح مایع در معرض نیروی عمودی قرار می‌گیرد که انحناء آن ناشی از جاذبه‌ی کشش سطحی خواهد بود.<sup>[۱۶]</sup>

### ۳.۲. محاسبه‌ی نیروی مویینه براساس پارامترهای هندسه‌ی پل مایع

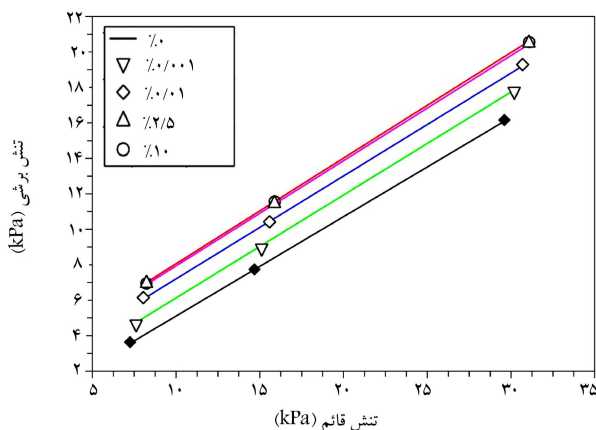
(منیسک)

همان‌طور که گفته شد، در اثر اندرکنش فازهای آب، هوا و دانه‌های خاک، غشاء کشسانی شکل می‌گیرد که با دانستن میزان حجم پل، این امکان وجود دارد تا بتوان نیروی کشش بین ذرات ناشی از چسبندگی بین آن‌ها را تعیین کرد. محاسبه‌ی دقیق حجم منحنی پل مایع فقط با حل معادله‌ی لاپلاس - بانگ ممکن است. از جمله فرض‌هایی که برای رسیدن به پاسخ معادله‌ی مذکور صورت گرفته است، می‌توان به نادیده گرفتن آثار گرانشی با توجه به حجم کم آب مطرح شده اشاره کرد که معقول و منطقی به نظر می‌رسد. به‌عنوان یک راه کلی، آثار گرانش را می‌توان برای مقادیر تعداد پیوند کم نادیده گرفت.<sup>[۸]</sup> علاوه بر پل مایع که در پیکربندی شبه استاتیک مطالعه شده است، فرض شده است که آثار گرانشی نادیده گرفته شده و گرانشی مایع و جنبش‌های بین دانه‌ی، به اندازه‌ی کافی کوچک هستند و از نیروی دینامیکی پل مایع صرف‌نظر شده است.<sup>[۹]</sup>

با این حال نشان داده شده است که اختلاف بین راه حل عددی تقریبی و راه حل دقیق، کمتر از ۱۰٪ است.<sup>[۱۱، ۱۰]</sup> با توجه به خطا در اندازه‌گیری‌های تجربی به دلیل عدم قطعیت حجم پل مایع، کشش سطحی و زبری ذرات، تقریب ذکر شده به اندازه‌ی کافی دقیق است. شکل ۳ که بر پایه‌ی حل عددی است، هندسه‌ی پل مایع برای دو کره با اندازه‌ی متفاوت که به یکدیگر با منیسک متصل شده‌اند، را نشان می‌دهد.<sup>[۱۲]</sup> در شکل مذکور،  $\theta$  زاویه‌ی تماس،<sup>۶</sup>  $\phi_1$  و  $\phi_2$  زاویه‌ی ترشدگی<sup>۷</sup> در هر دو ذره،  $r_1$  و  $r_2$  شعاع کره‌ها،  $d$  فاصله‌ی بین ذرات، و نهایتاً  $\rho_1$  و  $\rho_2$  شعاع انحنا مایع اتصال هستند. شکل ۳، هندسه‌ی مقطعی از منیسک بین دو ذره با شعاع نابرابر با موقعیت مراکز  $O_1$  و  $O_2$  را نشان می‌دهد. خط  $O_1P_1$  و  $O_2P_2$  برابر شعاع دو ذره هستند. زاویه‌ی تماس صفر نیست و  $O_2$  مرکز کمان دایروی پل مایع است.  $P_1$  و  $P_2$  محل برخورد منیسک با ذرات، نقطه‌ی تلاقی امتداد  $O_1P_1$  و  $O_2P_2$  و  $O_1C_1$  و  $O_2C_2$  نقطه‌ی تلاقی به ترتیب  $O_2C_1$  با پروفیل پل مایع  $P_1P_2$  و محور  $O_1O_2$  است. بنابر شکل ۳ و ساده‌سازی روابط هندسی می‌توان پارامتر زاویه‌ی ترشدگی منیسک ذره‌ی کوچک‌تر را به‌صورت رابطه‌ی ۱ محاسبه کرد:

$$\phi_2 = 2 \arctan \left[ \frac{d + 2r_1}{d + 2r_2} \tan \left( \frac{\phi_1}{2} \right) \right] \quad (1)$$

زمانی که پروفیل پل مایع به‌صورت کمانی از دایره شکل می‌گیرد، شعاع نخست اصلی منحنی  $(\rho_1)$  برابر با شعاع کمان دایره  $P_1P_2P_3$  و شعاع اصلی دوم  $(\rho_2)$  نیز برابر با طول خط  $C_1P_2$  خواهد بود، بنابراین می‌توان گفت که  $\rho_1$  و  $\rho_2$  از روابط ۲ و



شکل ۴. پوش گسیختگی موهر - کولمب تحت شرایط خشک و غیراشباع. [۱۳]

سه بعدی) با دامنه‌ی اندازه‌ی  $0.7 \times 10^{-3}$  تا  $0.35 \times 10^{-3}$  میلی‌متر تحت تنش همه‌جانبه‌ی ۵، ۱۰ و  $20 \text{ kPa}$  پاسکال و با نرم‌افزار YADE انجام شده است، به خوبی افزایش مقاومت برشی را به دلیل آثار موینگی و تأثیر آن‌ها در معیار شکست موهر - کولمب نشان می‌دهند. [۱۳] شبیه‌سازی‌های مذکور در فشارهای موینگی مختلف ناشی از درجه‌ی اشباع متغیر بین صفر تا ۱۰ درصد است.

مدل‌سازی صورت‌گرفته نشان می‌دهد که مقاومت برشی خاک غیراشباع بیشتر شده است و بستگی به درجه‌ی اشباع دارد. با افزایش میزان رطوبت نمونه، تنش تقاضای افزایش می‌یابد و با یک روند مشخص‌تر نسبت به حالت خشک، نشان‌دهنده‌ی ساختار یکپارچه‌تری خواهد بود. در شکل ۴، می‌توان مشاهده کرد که زاویه‌ی اصطکاک داخلی در هر سطح از اشباع‌شدگی، مستقل از درجه‌ی اشباع است. در مقابل، روشن است که تغییرات چسبندگی به‌طور قابل توجهی از حالت خشک به غیراشباع متفاوت است. چسبندگی به‌صورت غیرخطی تا بیشینه‌ی میزان درجه‌ی اشباع‌شدگی بالاتر که مربوط به حد بالایی حالت پاندولار است، افزایش می‌یابد. [۱۳]

علاوه بر شبیه‌سازی آزمایش سه محوری در سال ۲۰۰۹، [۱۳] که در آن آثار موینگی با استفاده از رابطه‌ی حاصل از معادله‌ی لاپلاس - یانگ بررسی شده است، پژوهشگران دیگری نیز در سال ۲۰۱۳، [۱۷] برای مدل‌سازی آزمایش سه محوری از رابطه‌ی ۱۱ برای محاسبه‌ی نیروی موینه استفاده کرده‌اند، با این تفاوت که برای محاسبه‌ی پارامترهای هندسی از ۲ بار ساده‌سازی بهره گرفته‌اند. ابتدا برای محاسبه‌ی شعاع‌های منیسک از روابط ساده‌شده‌ی  $\rho_1 = r(\sec\phi - 1)$  و  $\rho_2 = r(1 + \tan\phi - \sec\phi)$  استفاده شده و سپس با توجه به نابرابر بودن شعاع ذرات مدل‌شده، میزان شعاع ذره به‌صورت  $r = 2r_1r_2/(r_1 + r_2)$  ساده‌سازی شده است. هدف از مدل‌سازی مذکور به روش DEM، بررسی رفتار نمونه با ذرات نابرابر با بازه‌ی  $100 - 600 \mu\text{m}$  تحت اثر موینگی بوده است. نمونه‌ها با  $10000$  ذره و دو نسبت تخلخل اولیه‌ی  $0.82$  و  $0.85$  مدل شده‌اند.

شکل ۵، ارتباط بین تنش و کرنش حاصل از ۴ آزمایش را نشان می‌دهد که از مشاهده‌ی آن می‌توان دریافت که نمونه‌ی متراکم دچار رفتار نرم‌شدگی کرنشی و رفتار حجمی اتساعی است و مقدار بیشینه‌ی تنش انحرافی نیز با افزایش تنش همه‌جانبه و مکش افزایش یافته است. در تنش‌های همه‌جانبه‌ی بالا و مکش پایین، رفتار اتساعی چندان اهمیتی ندارد.

در نمونه‌ی شل، ابتدا تنش انحرافی با کرنش محوری به‌طور غیرخطی افزایش می‌یابد و سپس تقریباً ثابت می‌ماند. همچنین کرنش حجمی عمدتاً به‌صورت انقباضی

درگرده‌ی منیسک را می‌توان به‌وسیله‌ی رابطه‌ی ۸ تعیین کرد: [۱۰-۱۲]

$$F_1 = 2\pi T_s \rho_r \quad (8)$$

و نیروی هیدرواستاتیک درگرده‌ی منیسک از رابطه‌ی ۹ تعیین می‌شود:

$$F_1 = \pi \rho_r^2 P_c \quad (9)$$

فشار موینگی که نشان‌دهنده‌ی اثر مکش در نمونه است، با استفاده از رابطه‌ی ۱۰ محاسبه می‌شود:

$$P_c = T_s C = U_a - U_w = T_s (\frac{1}{\rho_1} - \frac{1}{\rho_2}) \quad (10)$$

بنابراین، نیروی موینگی کل را می‌توان به‌صورت مجموع دو نیروی کشش سطحی و نیروی هیدرواستاتیک بیان کرد (رابطه‌ی ۱۱) (شکل ۳):

$$F_l = F_1 + F_2 = \pi \rho_r T_s \frac{\rho_1 + \rho_2}{\rho_1} \quad (11)$$

در پژوهشی در سال ۱۹۹۳، [۱۰] نشان داده شد که نیروی پل مایع که به فاصله‌ی جدایی بین دو ذره وابسته است، تا مقدار بحرانی آن پایدار است. فاصله‌ی گسیختگی یا بیشینه‌ی فاصله‌ی جدایی  $\delta_n^{\max}$  که منیسک در آن می‌شکند، وابسته به پارامترهای زاویه‌ی تماس  $\theta$  و حجم پل مایع  $V$  است، به طوری که اگر  $\theta \leq 2\pi/9$  باشد، با رابطه‌ی اخیر می‌توان میزان آن را تعیین کرد. [۱۱] به هر حال، زاویه‌ی ترشدگی مستقیماً قابل تعیین نیست، بنابراین به‌عنوان تابعی از حجم پل مایع، فاصله‌ی بین ذرات و زاویه‌ی تماسی به روش سعی و خطا تعیین می‌شود. [۱۱] پیوند مایع تا زمانی که فاصله‌ی بین ذره‌ی کمتر از فاصله‌ی شکست پیوند  $(\delta_n^{\max})$  است، پایدار است. بیشینه‌ی فاصله‌ی بین ذرات با استفاده از رابطه‌ی ۱۲ محاسبه می‌شود:

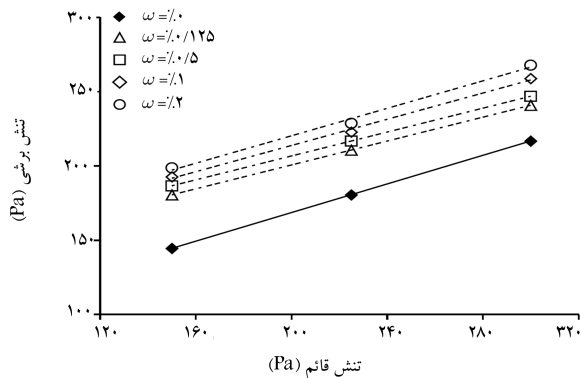
$$\delta_n^{\max} = (1 + 0.5\theta) V^{\frac{1}{3}} \quad (12)$$

وقتی که فاصله‌ی بین ذرات از فاصله‌ی گسیختگی منیسک کمتر باشد، پل مایع شکل می‌گیرد و حجم مایع به آن اختصاص داده می‌شود. در فاصله‌ی جدایی صفر، بیشینه‌ی نیروی منیسک در کمترین حجم پل مایع روی می‌دهد. از رابطه‌ی ۱۱، برای تعیین نیروی موینگی به‌عنوان پرکاربردترین روش محاسبه‌ی نیروی موینه که بیشتر پژوهشگران از آن استفاده کرده‌اند، می‌توان نام برد.

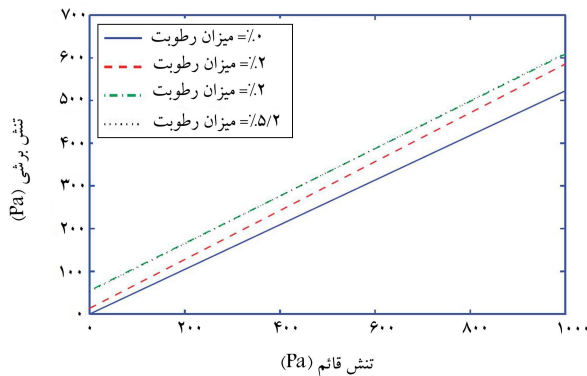
## ۴.۲. بررسی اثر فشار موینگی در معیار موهر - کولمب توسط سایر پژوهشگران

مقاومت برشی خاک، جایگاه مهمی در مهندسی ژئوتکنیک دارد. مهم‌ترین نظریه در رابطه با پیش‌بینی گسیختگی خاک، معیار موهر - کولمب است که رابطه‌ی تنش برشی و تنش قائم روی صفحه‌ی گسیختگی را بیان می‌کند. رابطه‌ی مذکور که کاربردترین معیار در مطالعات ژئوتکنیکی است، به‌صورت رابطه‌ی خطی با معادله‌ی  $\tau = c + \sigma_n \tan\phi$  بیان می‌شود.

مدل‌سازی خاک‌های دانه‌ی غیراشباع برای بررسی پارامترهای معیار موهر - کولمب در شرایط پاندولی صورت می‌گیرد. مطالعه در شرایط ذکرشده به این دلیل است که پل‌های مایع بین هر دو ذره شکل بگیرد و هم‌پوشانی با سایر پل‌ها نداشته باشد، زیرا در غیراین صورت باید آثار جریان هیدرولیکی بین پل‌ها نیز بررسی شود. برخی پژوهشگران (۲۰۰۹)، نیز با در نظر گرفتن نیروی کششی بین ذره‌ی ناشی از فشار موینه، شبیه‌سازی‌های آزمایش سه‌محوری که با استفاده از  $10000$  ذرات کروی



شکل ۷. نمودار معیار موهر - کولمب حاصل از شبیه‌سازی. [۱۹]

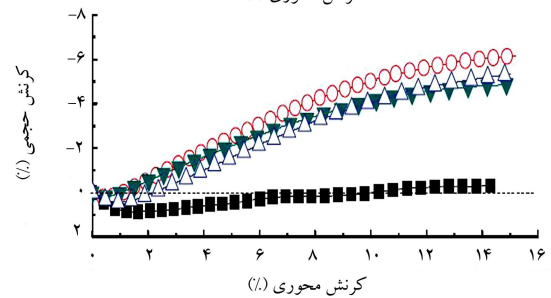
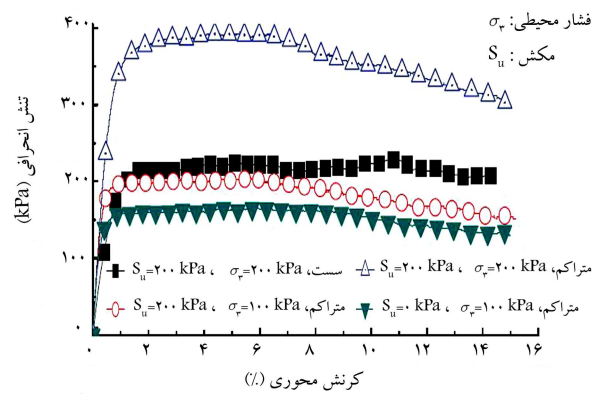


شکل ۸. پوش گسیختگی برای درجه‌ی اشباع‌های مختلف. [۱۱]

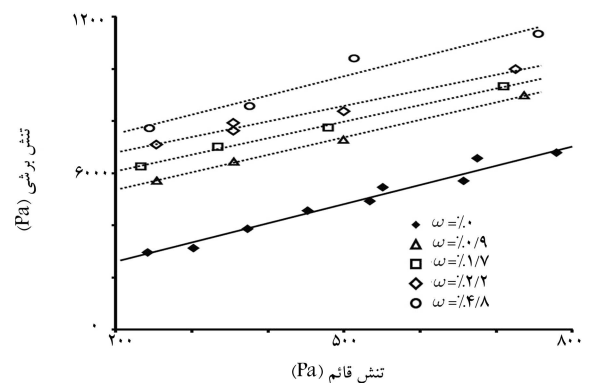
است: ۱. حالت سطح ذرات، ۲. امکان انباشتگی فاز مایع. [۱۹] مطابق آزمایش‌های صورت‌گرفته بر روی نمونه‌های ماسه‌یی و شیشه‌یی، دانه‌های ماسه‌یی، سطح زبری دارند و آب بیشتری برای تشکیل منیسک نسبت به دانه‌های شیشه‌یی که خیلی صیقلی هستند، نیاز دارند. از سوی دیگر، امکان انباشتگی جزئی موجب می‌شود تا به مقدار زیادی آب برای ایجاد پل‌های مایع نیاز باشد. برخی پژوهشگران (۲۰۰۶) نیز صحت نتایج آزمایشگاهی خود را با مقادیر حاصل از مدل‌سازی عددی مقایسه کرده‌اند. بر این اساس نمونه‌های عددی از ۷۳۰۷ ذره‌ی کروی با ۳ قطر مختلف (۱، ۱/۵ و ۲ میلی‌متر) که به صورت تصادفی به نسبت مناسب ترکیبی (۳۵٪، ۲۵٪ و ۴۰٪) ساخته شده‌اند. [۱۹] حجم آب نسبت داده شده به پیوند موینه بین دو ذره ( $V_b$ )، متناسب با قطرهای ذرات و فاصله‌ی مرکز به مرکز آن‌ها پنداشته شده است، به طوری که حجم کل همه‌ی پیوندهای موینه در نمونه، برابر با آب اضافه شده است. نتایج حاصل از شبیه‌سازی انجام شده در شکل ۷ نشان داده شده است.

در پژوهشی در سال ۲۰۰۸، [۱۱] به شبیه‌سازی عددی آزمایش برش مستقیم به منظور بررسی مقاومت برشی در مصالح دانه‌یی ریز و مرطوب اقدام شده است. نمونه از ذرات هم‌اندازه به قطر ۱ میلی‌متر ساخته شده و در طول شبیه‌سازی، سرعت عمودی بسیار کوچکی برای جلوگیری از ایجاد نیروهای بزرگ تماسی بین دیواره‌ها و ذرات مجاور به منظور اطمینان از توزیع یکنواخت تنش قائم و ویژه (۱۰۰۰، ۵۰۰ و ۲۵۰ پاسکال) در درون نمونه استفاده شده است. در مدل‌سازی مذکور نیز برای محاسبه‌ی نیروی موینگی از رابطه‌ی ۱۱ استفاده شده است. [۱۱]

خط گسیختگی حاصل از شبیه‌سازی‌های ذکر شده در فاز خشک‌شدگی در شکل ۸ مشاهده می‌شود که مطابق آن، چنانکه درجه‌ی اشباع افزایش یابد، بیشینه‌ی تنش برشی شکست به‌طور کلی افزایش می‌یابد. با این حال، خط گسیختگی و



شکل ۵. نمودار تنش و کرنش حجمی در برابر کرنش در شبیه‌سازی به روش DEM. [۱۷]

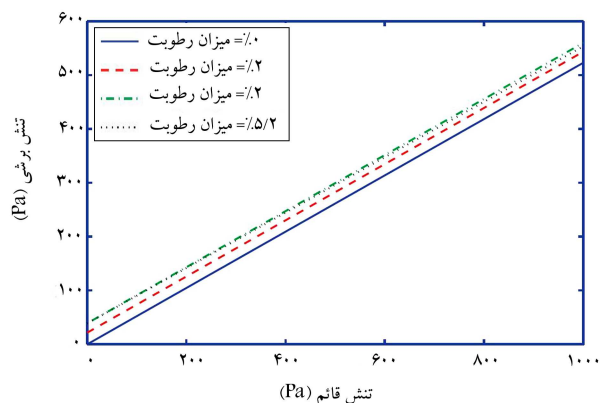


شکل ۶. پوش گسیختگی برای نمونه‌ی ماسه به ازاء مقادیر مختلف رطوبت حاصل از انجام آزمایش برش مستقیم. [۱۸]

است و در کرنش‌های بزرگ ( $> 10\%$ ) اندکی انبساطی عمل می‌کند. نمونه‌های متراکم در شرایط یکسان تنش همه‌جانبه و مکش، رفتار انبساطی‌تر و با تنش انحرافی بزرگ‌تری را در برابر نمونه‌های شل از خود نشان می‌دهند.

همچنین اثر موینگی در آزمایش‌های برش مستقیم بررسی شده است. مطابق نتایج حاصل از آزمایش مشابه برش مستقیم انجام شده در پژوهشی در سال ۲۰۰۷، [۱۸] به نظر می‌آید که زاویه‌ی  $\varphi$  وابستگی محسوس با رطوبت ندارد؛ در حالی که چسبندگی به‌طور غیرخطی با افزایش رطوبت، افزایش می‌یابد و برای میزان رطوبت، چسبندگی اشباع شده (c) را از خود نشان می‌دهد. شکل ۶، مکان هندسی تسلیم  $\sigma - \tau$  برای ماسه با دانه‌های گوشه‌دار با دامنه‌ی قطرهای ۰/۱ تا ۰/۴ میلی‌متر در مقادیر مختلف درجه رطوبت را نشان می‌دهد.

در حقیقت، سطح پایین‌تر چسبندگی منجر به تحرک بیشتر ذرات و افزایش تداخل می‌شود که این امر به دلیل توزیع کم اندازه‌های ذره در بسیاری از موارد است. [۱۸] مقدار  $\omega$  به سختی تعیین می‌شود و این احتمالاً به ۲ عامل وابسته



شکل ۹. پوش گسیختگی به ازاء رطوبت‌های متفاوت. [۱۱]

نمودارهای تنش - کرنش برشی برای میزان رطوبت‌های ۰.۲٪ و ۵.۲٪ تقریباً یکسان هستند.

در نمونه با درجه‌ی اشباع نسبتاً پایین (مقدار کمی آب)، تنش کششی به یک مقدار ثابت می‌رسد و با افزایش مقدار آب، منفذی افزایش نمی‌یابد. در طول مرحله‌ی ترشدگی نیز، همان روند که در شکل ۹ نشان داده است، مشاهده می‌شود. [۱۱] زاویه‌ی اصطکاک داخلی نمونه‌های تحت برش قرارگرفته در طی مرحله‌ی خشک‌شدگی، عموماً بزرگ‌تر از نمونه‌های تحت برش در مرحله‌ی ترشدگی هستند. به‌طور کلی، چسبندگی ظاهری [۴] برای نمونه‌ی مورد آزمایش در طی مرحله‌ی خشک‌شدگی بزرگ‌تر از نتایج حاصل از مرحله‌ی ترشدگی به جز برای حالت با درجه‌ی اشباع پایین است. افزایش مقدار آب، نمونه را به ازدیاد چسبندگی ظاهری تا حدی که در آن تنش کششی ثابت شود، متمایل می‌سازد.

### ۳. مدل‌سازی عددی

در روش عددی اجزاء منفصل، محیط با اعمال نیروی خارجی، دچار بی‌نظمی می‌شود و در اثر آن اجزاء محیط به نحوی حرکت می‌کنند که دوباره به حالت تعادل برسند. در محیط دانه‌یی، حتی اگر این نیرو به تعداد کمی از ذرات وارد شود، با تماس‌های متوالی در کل محیط پخش می‌شود و تمامی ذرات در جهت ایجاد تعادل حرکت می‌کنند. بنابراین، تغییراتی از این قبیل در یک محیط دانه‌یی، به سه مرحله تقسیم می‌شوند:

- اعمال نیرو
- انتشار بی‌نظمی
- برقراری تعادل

سه مرحله‌ی ذکرشده، در حقیقت اساس مدل‌سازی به روش اجزاء منفصل هستند. در روش اجزاء منفصل، اندرکنش ذرات به‌صورت روندی دینامیکی تا برقراری توازن نیروهای داخلی ادامه می‌یابد. رفتار دینامیکی با استفاده از گام‌های زمانی با فرض سرعت‌ها و شتاب‌های ثابت در هر گام زمانی شبیه‌سازی می‌شود. چرخه‌ی محاسبات در نرم‌افزار PFC<sup>2D</sup>، الگوریتم گام زمانی است که نیازمند بکارگیری تکراری قانون حرکت برای هر ذره، قانون نیرو - تغییرشکل و به‌هنگام‌سازی دائمی موقعیت‌های دیوارهاست. تماس‌ها به‌طور خودکار بین ذرات در طول چرخه تشکیل می‌شوند و از بین می‌روند. در شروع هر گام زمانی، با دانستن موقعیت ذرات و دیوارها، تماس‌ها به‌هنگام می‌شود. سپس به منظور تعیین نیروهای تماسی براساس حرکت

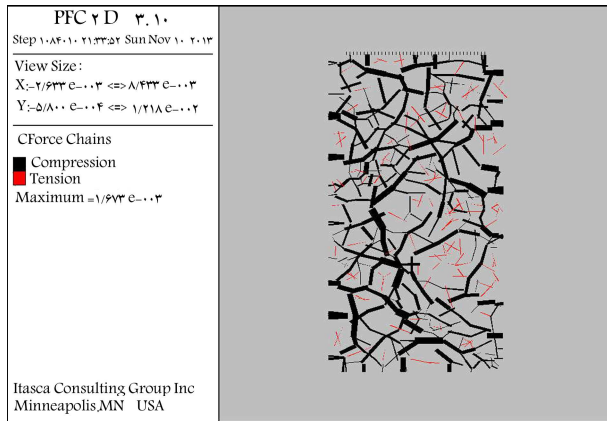
نسبی بین دو ذره مستقل در تماس با هم و مدل تماس، قانون نیرو - تغییرشکل به‌کار برده می‌شود. در مرحله‌ی بعد، جهت تعیین سرعت و موقعیت ذرات، قانون حرکت استفاده می‌شود.

برای مدل‌سازی نیروی مویینگی به روش عددی DEM، باید نحوه‌ی توزیع مایع بین ذرات مشخص باشد. یکی از مسائل مهمی که در مدل‌سازی‌های اشاره‌شده توسط سایر پژوهشگران مبهم است، این مسئله است که پل‌های مذکور در بین کدامیک از ذرات وجود دارند و به چه نسبتی از میزان آب حفره‌یی سهم می‌برند. فرضیات و روش‌های متعددی در این زمینه انجام شده است. یک فرض آن است که مایع می‌تواند بین ذرات جابه‌جا شود و به‌طور مساوی در میان همه‌ی شکاف‌هایی که کمتر از فاصله‌ی گسیختگی منیسک هستند، توزیع شود. [۲۰] فرض دیگر آن است که مایع به‌طور مساوی بین ذرات توزیع شود و جابه‌جایی مایع بین ذرات در صورتی که ویسکوزیته‌ی مایع به حد کافی پایین باشد، قابل چشم‌پوشی است. [۹] با ترکیب دو فرض مذکور، برخی پژوهشگران، [۲۱] فرض کردند که مایع به‌طور مساوی بین ذرات توزیع می‌شود و انتقال‌پذیر نیست. با توجه به اینکه میزان حجم پل مایع به فاصله‌ی بین ذرات وابسته است، بنابراین به نظر می‌رسد توزیع پل‌های مایع به نسبت فاصله‌ی مرکز به مرکز دو ذره مجاور به مجموع فواصل مراکز تمام ذرات در تماس، روش مناسبی است که در پژوهش حاضر استفاده و پس از توزیع آب بین منیسک‌ها، پایداری پل‌های مایع با توجه به سهم هر یک از آب حفره‌یی بررسی شده است. بدین منظور از رابطه‌ی ۱۲ استفاده شده است.

نرم‌افزار PFC<sup>2D</sup> نسبت به نرم‌افزارهای مشابه نظیر YADE که توسط سایر پژوهشگران استفاده شده است، پرکاربردتر و کاربرمحور است که براساس روش اجزاء منفصل محاسبه می‌کند، ولی فقط اثر نیروی دافعه بین ذرات خاک‌های دانه‌یی تحت بارگذاری‌های مختلف را با مدل رفتاری خطی به‌صورت هم‌پوشانی ذرات جامد بر یکدیگر به‌طور مکانیکی شبیه‌سازی می‌کند. اما برای مدل‌سازی نیروی جاذبه‌ی حاصل از منیسک‌های شکل‌گرفته بین ذرات در اثر سیال حفره‌یی باید از ضماهم اضافه‌شده به مدل اولیه براساس محاسبه‌ی نیروی مویینگی و آثار متقابل این دو بر هم استفاده کرد. در مدل رفتاری اضافه‌شده به روش سعی و خطا، پارامترهای موردنیاز برای تعیین نیروی هر پل مایع، مشخص و نیروی مذکور توسط کد UDM نوشته‌شده به زبان C++ به نرم‌افزار داده می‌شود. یک شبیه‌سازی واقع‌گرایانه از محیط دانه‌یی غیراشباع، هنگامی امکان‌پذیر خواهد بود که رفتار هر دو فاز جامد و مایع خاک با معادلات مناسبی تعریف و با حل هم‌زمان معادلات فاز جامد و سیال، برهم‌کنش‌های بین دو فاز مذکور در مدل‌سازی در نظر گرفته شود. [۲۲]

نیروی مویینگی زمانی که ذرات اندازه‌یی بین ۴۰ تا ۴۰۰ میکرون (۰.۴ تا ۰.۴ میلی‌متر) دارند، شکل می‌گیرد. در ذرات بزرگ‌تر از ۴۰۰ میکرون، اصطکاک بین ذره‌یی منجر به رفتار چسبندگی برشی می‌شود. در ذرات کوچک‌تر از ۴۰ میکرون، این نیروی واندروالس است که به‌طور قابل توجهی شروع به افزایش به‌عنوان نیروی چسبندگی می‌کند. [۲۳] این مدل‌سازی در بازه‌ی اندازه‌ی ذرات بین ۰.۵ تا ۰.۱ میلی‌متر انجام شده است که در بازه‌ی ذکرشده است. تعداد ذرات تولیدشده با توجه به نحوه‌ی توزیع وزنی موردنظر در پژوهش حاضر، تعیین و در جدول ۱ ارائه شده است.

برای تولید ذرات، روش واحدی وجود ندارد و این کار به‌صورت تصادفی انجام می‌گیرد، بنابراین در هر بار تولید ذرات، موقعیت ذره دچار تغییر می‌شود. این امر موجب عدم تولید دو نمونه‌ی کاملاً یکسان به روش مذکور می‌شود، دو نمونه‌ی کاملاً یکسان را تولید کرد. به عبارت دیگر، در هر بار تولید ذرات به علت تعیین قطر و مکان تصادفی ذرات، امکان رسیدن به یک نمونه‌ی کاملاً مشابه وجود ندارد.



شکل ۱۰. تغییرات حجمی غشاء نمونه‌ی تحت بارگذاری.

نمونه تحت بارگذاری قرار می‌گیرد. لازم به ذکر است که در مدل‌سازی صورت‌گرفته در نوشتار حاضر، مقدار کشش سطحی آب ( $T_s$ )، برابر با  $۰.۷۳۵ (N/m)$  در دمای  $۱۵۰^\circ$  در نظر گرفته شده است. همچنین در کلیه‌ی شبیه‌سازی‌ها، گام زمانی برابر با  $۱ \times 10^{-6}$  ثانیه در نظر گرفته شده است. بارگذاری در تمام آزمایش‌ها با سرعت ثابت و برابر  $۱/۲۷ (cm/s)$  انجام شده‌اند.

شکل ۱۰، خروجی توزیع نیروی کششی و فشاری یکی از نمونه‌های مدل‌سازی شده در هنگام گسیختگی را نشان می‌دهد. در واقع در شکل مذکور، نمونه در حالت گسیختگی دچار افزایش قطر در قسمت میانی شده و شکلی شبیه خرمه پیدا کرده است و نمونه انقباضی عمل می‌کند. این رفتار با نمودارهای کرنش حجمی به کرنش محوری مطابقت دارد. لازم به ذکر است که خطوط موجود در شکل ۱۰، نشان‌دهنده‌ی نیروها و اندازه‌ی آن‌ها نیز نشان بزرگی‌شان در نمونه هستند و از نمایش ذرات اصلی نمونه صرف‌نظر شده است.

### ۱.۳. بررسی تأثیر درجه‌ی اشباع در رفتار نمونه‌ها

شکل ۱۱، روند تغییرات تنش تقاضایی در نمونه با ضریب اصطکاک بین ذره‌ی  $۰.۹$  در درجه اشباع‌های مختلف را نشان می‌دهد. همان‌طوری که در شکل ۱۱ مشاهده می‌شود، تغییرات تنش تقاضایی در درجه اشباع‌های مختلف چندان زیاد نیست، بنابراین بزرگای تنش تقاضایی چندان تغییر نمی‌کند؛ اما با توجه به اینکه سایر پارامترهای مدل‌سازی یکسان است، لذا دامنه‌ی تغییرات موجود می‌تواند ناشی از میزان رطوبت در نمونه‌ها باشد. چرا که در اثر منسک‌های ایجاد شده در نمونه‌ها در درجه اشباع‌های مختلف، بین ذرات نیروی کششی ایجاد شده است. با این حال با توجه به اینکه اندازه‌ی این نیروها نسبت به نیروی ناشی از هم‌پوشانی ذرات کوچک‌تر است، بنابراین می‌توان گفت که در تنش همه‌جانبه‌ی پایین‌تر موجب دامنه‌ی تغییرات بیشتری می‌شوند. اما با افزایش تنش همه‌جانبه، میزان تغییرات ناشی از پل مایع کاهش می‌یابد. بنابراین پل‌های مایع باعث تغییر زیاد در ظرفیت باربری نمونه نمی‌شوند و این مسئله منطقی به نظر می‌رسد.

شکل ۱۲، نمودار تنش تقاضایی نسبت به کرنش محوری در درجه اشباع‌های مختلف در نمونه با ضریب اصطکاک بین ذره‌ی  $۰.۵$  است. نرخ تغییرات تنش تقاضایی در نمونه‌های با ضریب اصطکاک بین ذره‌ی  $۰.۵$  کمتر از نمونه با ضریب اصطکاک  $۰.۹$  است.

در واقع همان‌طور که در شکل ۱۲ نشان داده شده است، میزان رطوبت در

جدول ۱. تعداد ذرات در هر نمونه.

مجموع تعداد ذرات	قطر ذرات (میلی‌متر)				
	۰/۱	۰/۲	۰/۳	۰/۴	۰/۵
۱۷۲۵	۷۰۵	۵۶۳	۲۸۱	۱۴۱	۳۵

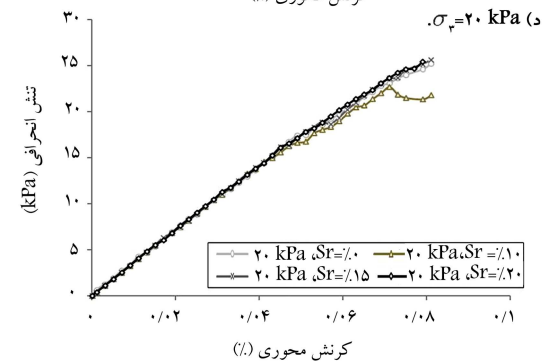
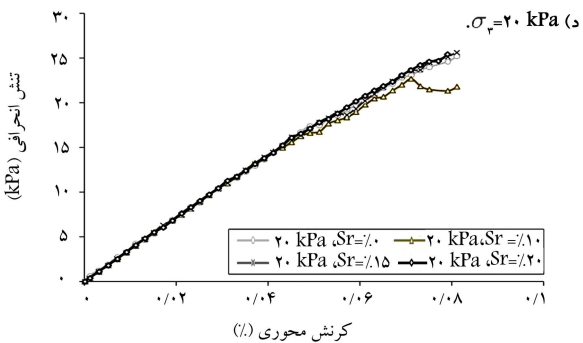
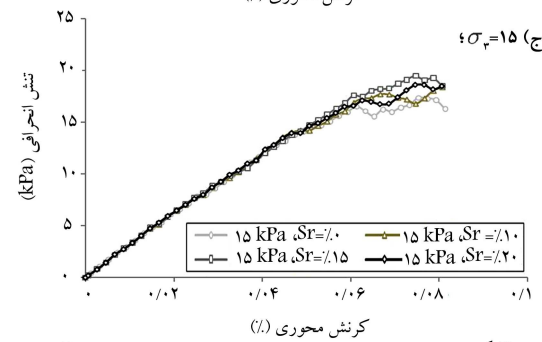
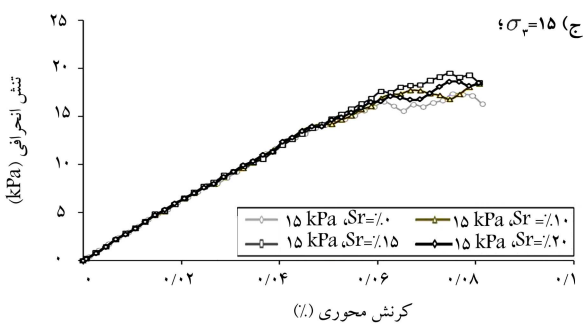
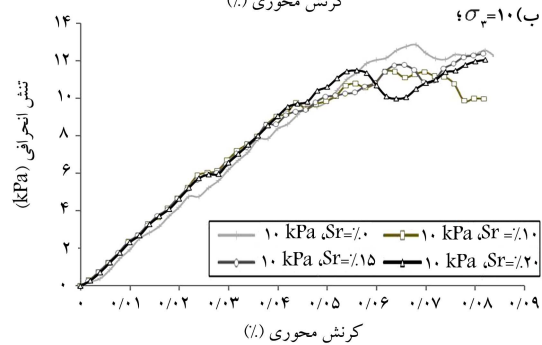
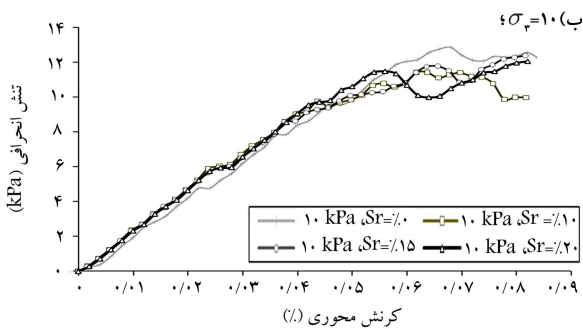
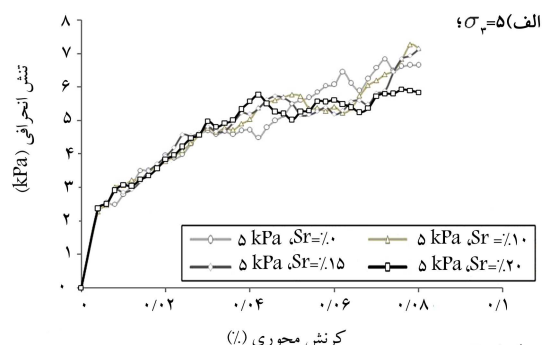
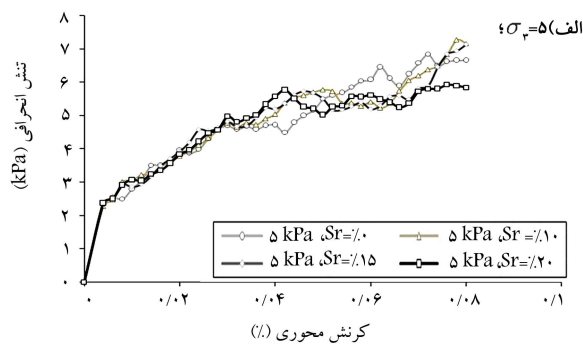
جدول ۲. مشخصات مصالح.

ویژگی مصالح	نمونه‌ی ۱	نمونه‌ی ۲	ذرات مرزی
قطر کمینه (mm)	۰/۱	۰/۱	۰/۰۵
قطر بیشینه (mm)	۰/۵	۰/۵	۰/۰۵
چگالی ( $kg/m^3$ )	۲۵۰۰	۲۵۰۰	۲۵۰۰
سختی عمودی ( $N/m$ )	۱۰۶	۱۰۶	$۲ \times ۱۰^۶$
سختی مماسی ( $N/m$ )	۱۰۶	۱۰۶	$۲ \times ۱۰^۶$
ضریب اصطکاک	۰/۵	۰/۹	-
مقاومت نرمال پیوند	-	-	$۴ \times ۱۰^۶$
تناسی ( $N$ )	-	-	-
مقاومت برشی پیوند	-	-	$۴ \times ۱۰^۶$
تناسی ( $N$ )	-	-	-

برای ایجاد شرایط اولیه جهت مدل‌سازی، فرضیات مختلفی توسط سایر پژوهشگران صورت گرفته است که قبلاً نیز اشاره شد. این فرضیات می‌توانند در نتایج تأثیرگذار باشند، بنابراین باید مواردی نظیر کفایت تعداد ذرات، شکل هندسی، شرایط مرزی، و ابعاد نمونه‌ها بررسی و مقایسه شود. در نوشتار حاضر، برای تهیه‌ی نمونه‌ی ذرات لازم جهت انجام آزمایش دو محوری، ابتدا ۴ دیوار به گونه‌ی تعریف می‌شوند تا فضای با ارتفاع  $۲۷/۴$  و عرض  $۱۳/۷$  میلی‌متر را تولید کنند. ابتدا ذرات با قطر کوچک‌تر در محیط اشاره‌شده (که بزرگ‌تر از اندازه‌ی نهایی نمونه هستند) تولید می‌شوند. در ادامه، با افزایش شعاع ذرات تا اندازه‌ی موردنظر و حرکت دیواره‌ها با سرعت ثابت، تراکم موردنیاز حاصل می‌شود و نمونه به ارتفاع  $۲۵/۴$  و عرض  $۱۲/۷$  میلی‌متر می‌رسد.

سپس دیواره‌های صلب پیرامونی حذف و نمونه‌ی خاک شبیه‌سازی شده توسط یک ردیف از ذرات با قطر کمتر از کوچک‌ترین ذره‌ی نمونه از ۴ طرف احاطه می‌شود. همچنین قطر ذرات غشاء به نحوی است که از  $۱/۱$  قطر نمونه نیز کمتر است. عملکرد این ذرات مانند غشاء لاستیکی در بزرگ‌رنده‌ی نمونه‌ی خاک، در آزمایش سه‌محوری است. تعریف شرایط مرزی بدین طریق، امتیازهایی از جمله: وقوع گسیختگی نمونه در ضعیف‌ترین صفحه، ایجاد فشار همه‌جانبه به صورت کاملاً یکنواخت به علت امکان اعمال نیرو به ذرات مرزی و عدم نیاز به تعریف روابط موردنیاز برای هندسه‌ی منسک بین ذره و دیوار دارد. ویژگی‌های ذرات اصلی نمونه و ذرات مرزی در جدول ۲ ارائه شده است. با توجه به مدل‌سازی‌های انجام‌گرفته توسط سایر پژوهشگران، در نوشتار حاضر نیز شبیه‌سازی در محدوده‌ی پاندولی صورت گرفته است، بنابراین شبیه‌سازی‌ها برای درجه‌های اشباع‌شدگی  $۱۰$ ،  $۱۵$  و  $۲۰$  درصد و حالت خشک انجام شده است.

اعمال فشار جانبی بر نمونه‌ی خاک از طریق ذرات مرزی صورت می‌گیرد. این کار با محاسبه‌ی نیروی متناظر با فشار جانبی که بر هر ذره‌ی مرزی وارد می‌شود، انجام می‌گیرد. با استفاده از چنین روشی این اطمینان حاصل می‌شود که فشار جانبی به صورت کاملاً یکنواخت بر نمونه‌ی خاک اعمال شده است. در بالا و پایین نمونه‌ی خاک نیز دو دیواره‌ی صلب تعریف شده است، که با نزدیک شدن آن‌ها به یکدیگر



شکل ۱۲. تنش تقاضایی نسبت به کرنش محوری در درجه اشباع‌های مختلف در نمونه با ضریب اصطکاک بین ذره‌یی ۰٫۵.

شکل ۱۱. تنش تقاضایی نسبت به کرنش محوری در درجه اشباع‌های مختلف در نمونه با ضریب اصطکاک بین ذره‌یی ۰٫۹.

### ۲.۳. تأثیر درجه‌ی اشباع در زاویه‌ی اصطکاک داخلی و چسبندگی ظاهری

هدف اصلی از مطالعه‌ی تنش و کرنش محوری در پژوهش حاضر، بررسی پارامترهای  $c$  و  $\phi$  در معیار گسیختگی موهر - کولمب بوده است. شکل ۱۳ نشان می‌دهد که با افزایش درجه‌ی اشباع در نمونه با ضریب اصطکاک بین ذره‌یی ۰٫۵، میزان چسبندگی ظاهری ( $c$ ) افزایش می‌یابد. این امر در حالی است که در حالت اشباع کامل براساس مکانیک خاک کلاسیک، باید نمونه با دانه‌بندی مذکور، هیچ مقدار

محدوده‌ی تنش تقاضایی تأثیر چندانی ندارد و درجه‌ی اشباع فقط موجب تغییرات دامنه‌ی تنش تقاضایی شده است که ناشی از نیروی مویبندیگی بین ذرات است. با این حال، شیب نمودارها در همه‌ی آزمایش‌ها با درجه‌ی اشباع برابر یکسان بوده است. همان‌طور که نتایج موجود نشان می‌دهند، ضریب اصطکاک بین ذره‌یی موجب تغییر در تنش تقاضایی در نمونه‌ها می‌شود. این مسئله به نحوی است که افزایش ضریب اصطکاک بین ذره‌یی مانند زبری ذرات عمل می‌کند و باعث می‌شود تا ذرات به سختی امکان حرکت بین یکدیگر را پیدا کنند و در نتیجه به نیروی بیشتری برای متراکم کردن نمونه نیاز باشد.



### ۳.۳. مقایسه‌ی نتایج مدل‌سازی با نتایج تجربی و عددی سایر

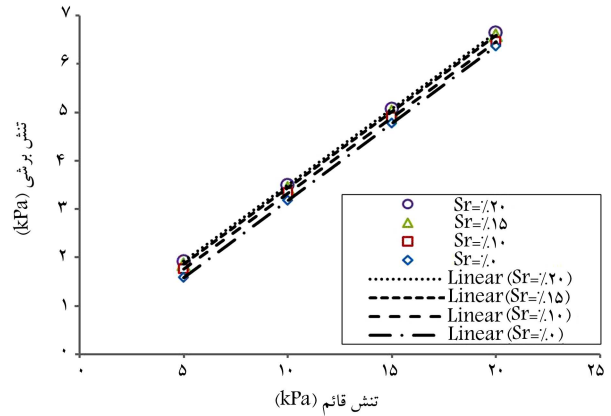
#### پژوهشگران

از آنجایی که اعتبار مدل‌سازی‌های عددی باید به نحو مطلوبی بررسی شود، لذا بهترین راه برای رسیدن به هدف مذکور، مقایسه‌ی نتایج حاصل با پژوهش‌های سایر پژوهشگران است. بدین منظور نتایج حاصل از مدل‌سازی‌های صورت‌گرفته در پژوهش حاضر با نتایج سایر پژوهشگران مقایسه شده است. مدل ارائه‌شده در نوشتار حاضر، براساس محاسبه‌ی نیروی ناشی از مویبندگی نسبت به فاصله‌ی بین ذره‌ی است. در واقع براساس مدل ارائه‌شده، نیروی مویبندگی در اثر افزایش فاصله بین ذرات کاهش می‌یابد، تا نهایتاً با رسیدن به فاصله‌ی نهایی، پیوند شکسته و نیرو صفر می‌شود. بازه‌ی تغییرات نیرو از  $10^{-4} \times 1$  تا  $10^{-5} \times 1$  نیوتن است و با افزایش حجم پل مایع، مقدار نیرو افزایش می‌یابد. نتایج حاصل با مبانی ارائه‌شده‌ی برخی پژوهشگران، مطابقت دارد. [۱۲] اختلافی که بین نتایج حاصل از مدل‌سازی صورت‌گرفته با نتایج پژوهش اخیر وجود دارد، ناشی از تفاوت شعاع ذرات و حجم پل مایع است. با این حال با توجه به اینکه محدوده‌ی اندازه‌ی ذرات در بازه‌ی اشاره‌شده در پژوهشی در سال ۱۹۹۶، [۱۳] بوده است، بنابراین محدوده‌ی نیرو در بازه‌ی مشخص شده است. با استفاده از مدل ارائه‌شده، آزمایش دو محوری بر روی خاک غیراشباع شبیه‌سازی شده و براساس تنش‌های اصلی  $\sigma_1$  و  $\sigma_3$ ، دایر موهر ترسیم و سپس پوش گسیختگی موهر - کولمب عبور داده شده است. از مقایسه‌ی نتایج حاصل (شکل‌های ۱۳ و ۱۴) با نتایج شبیه‌سازی آزمایش سه محوری توسط برخی پژوهشگران، [۱۳] می‌توان دریافت که روند تغییرات چسبندگی به نحو مطلوبی در طی سیکل بارگذاری نمونه‌ها روی داده است. با این حال تفاوت موجود بین مقادیر می‌تواند ناشی از اختلاف مقدار اشباع‌شدگی، تفاوت اندازه‌ی ذرات، ساده‌سازی‌های صورت‌گرفته، و تعداد ذرات مدل شده باشد. آزمایشی مشابه برش مستقیم نیز در پژوهشی در سال ۲۰۰۷، [۱۸] به طور تجربی انجام و سپس شبیه‌سازی شده است. نتایج تجربی حاصل (شکل ۶) با مدل‌سازی صورت‌گرفته در نوشتار حاضر مطابقت خوبی دارد، زیرا اندازه‌ی ذرات مشابه یکدیگر بوده است. با این حال درجه‌ی اشباع‌شدگی ذرات متفاوت است و تفاوت موجود بین نتایج می‌تواند ناشی از این مسئله باشد. تفاوت موجود بین نتایج در نوشتار حاضر و نتایج شبیه‌سازی نیز می‌تواند ناشی از تفاوت در اندازه‌ی ذرات و تعداد آن‌ها بوده باشد (شکل ۷).

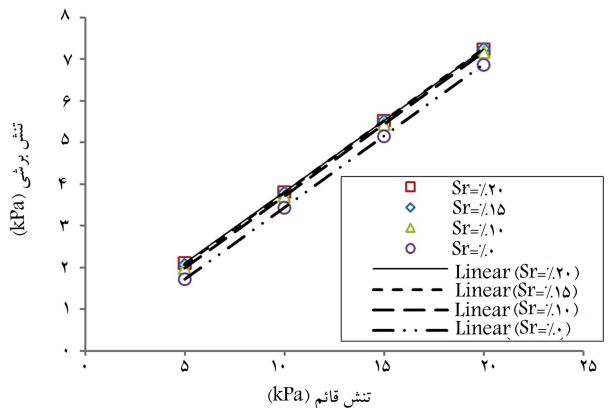
با این حال تمامی نتایج تجربی و مدل‌سازی، نشان‌دهنده این مسئله هستند که در اثر تغییر درجه‌ی اشباع در خاک‌های دانه‌ی غیراشباع، چسبندگی ظاهری خاک دچار تغییر می‌شود و در واقع خاک دانه‌ی از خود چسبندگی نشان می‌دهد که ناشی از پدیده‌ی مویبندگی خواهد بود. همچنین این روند تا درجه‌ی اشباع خاصی با توجه به منحنی دانه‌بندی خاک ادامه می‌یابد و سپس به ثبات می‌رسد. در مقابل، زاویه‌ی اصطکاک داخلی تحت تأثیر رطوبت قرار نگرفته و فقط به ساختار خاک وابسته بوده است. این روند در شبیه‌سازی‌های صورت‌گرفته در نوشتار حاضر نیز مشاهده شده است که نشان‌دهنده‌ی توانایی خوب مدل در شبیه‌سازی مسئله‌ی مویبندگی است.

### ۴. نتیجه‌گیری

پژوهش حاضر نشان می‌دهد که با مشخص شدن حجم پل مایع می‌توان با حل عددی، زاویه‌ی ترشدگی را تعیین و سپس نیروی مویبندگی را محاسبه کرد. همچنین تأثیر میزان رطوبت در پل مایع و نیروی مویبندگی بررسی شده است. در شبیه‌سازی‌های صورت‌گرفته، اثر فشار همه‌جانبه بررسی شده است. با افزایش میزان فشار همه‌جانبه،



شکل ۱۳. نمودار پوش گسیختگی موهر - کولمب در نمونه‌ها با ضریب اصطکاک بین ذره‌ی ۰/۵ در درجه‌های اشباع مختلف.



شکل ۱۴. نمودار پوش گسیختگی موهر - کولمب در نمونه‌ها با ضریب اصطکاک بین ذره‌ی ۰/۹ در درجه‌های اشباع مختلف.

چسبندگی از خود نشان ندهد. شاید بتوان گفت که شرایط اتفاق افتاده در نمونه‌های شبیه‌سازی‌شده مشابه رفتار ماسه‌ی بادی غیراشباع است، زیرا در این حالت با اینکه ماسه هیچ چسبندگی ندارد، با این حال در چنین شرایطی رفتاری مشابه خاک‌های چسبنده از خود نشان می‌دهد. در مقابل، افزایش رطوبت نمونه، تأثیری در زاویه‌ی اصطکاک داخلی ( $\varphi$ ) ندارد و پوش گسیختگی در نمونه‌ها با یکدیگر موازی است.

شکل ۱۴، پوش گسیختگی نمونه با ضریب اصطکاک بین ذره‌ی ۰/۹ را در شرایط مختلف نشان می‌دهد. در نمونه با ضریب اصطکاک ۰/۹، زاویه‌ی اصطکاک داخلی  $\varphi$  نسبت به نمونه‌ی یک بزرگ‌تر شده است. این امر ناشی از افزایش ضریب اصطکاک بین ذره‌ی در نمونه‌ی مذکور است، زیرا در این شرایط برای جابه‌جایی ذرات در اثر تراکم نیاز به اعمال تنش انحرافی بیشتری نسبت به نمونه‌ی شماره یک بوده است. در نمونه با ضریب اصطکاک بین ذره‌ی ۰/۹ نیز مشابه نمونه با ضریب اصطکاک بین ذره‌ی ۰/۵، با افزایش درجه‌ی اشباع، چسبندگی ظاهری افزایش یافته است؛ در حالی که زاویه‌ی اصطکاک داخلی ( $\varphi$ ) تغییر نکرده و پوش گسیختگی در آزمایش‌ها با یکدیگر موازی بوده است. جدول ۳، پارامترهای معیار موهر - کولمب در نمونه‌ها تحت شرایط مختلف اشباع‌شدگی را نشان می‌دهد. همان‌طور که در جدول مذکور مشاهده می‌شود، اختلاف بین زاویه‌ی اصطکاک داخلی در دو نمونه کمتر از ۲ درجه است.

جدول ۳. پارامترهای معیار موهر - کولمب در نمونه تحت شرایط مختلف اشباع‌شدگی.

نمونه ۱ (ضریب اصطکاک بین ذره‌یی ۰/۵)				پارامتر مقاومت برشی
$Sr = 0\%$	$Sr = 10\%$	$Sr = 15\%$	$Sr = 20\%$	
-	۲۰۷,۲	۲۹۳,۸	۳۴۷,۹	$c(Pa)$
۱۷,۶۹	۱۷,۳۸	۱۷,۴۸	۱۷,۴۸	$\varphi(degree)$
نمونه ۲ (ضریب اصطکاک بین ذره‌یی ۰/۹)				پارامتر مقاومت برشی
$Sr = 0\%$	$Sr = 10\%$	$Sr = 15\%$	$Sr = 20\%$	
-	۲۷۱	۳۵۴,۴	۳۹۸,۱	$c(Pa)$
۱۸,۹۳	۱۸,۹۸	۱۸,۹۸	۱۸,۸۳	$\varphi(degree)$

را افزایش می‌دهند. این چسبندگی با افزایش درجه‌ی اشباع افزایش می‌یابد. اثر مویینگی در مقاومت خاک غیراشباع به صورت اصطکاکی نیست، بلکه ماهیت چسبندگی دارد. نمونه‌های متراکم‌تر، بیشینه‌ی زاویه‌ی اصطکاک بیشتری را نسبت به نمونه‌های شل در همان درجه‌ی اشباع و تحت همان مکش از خود نشان می‌دهند. از مقایسه‌ی رفتار نمونه‌های خشک و غیراشباع مشخص شد که زاویه‌ی اصطکاک داخلی نمونه‌های خشک و غیراشباع تقریباً با یکدیگر برابر است. نتایج به دست آمده از شبیه‌سازی‌ها، مطابقت خوبی با دانسته‌های مکانیک خاک‌های غیراشباع دارد. این امر نشان‌دهنده‌ی توانایی مدل ارائه‌شده در شبیه‌سازی محیط دانه‌یی غیراشباع است.

مقدار تنش انحرافی در هر دو نمونه افزایش یافته است. مدل‌سازی‌ها نشان می‌دهند که با افزایش تنش همه‌جانبه، میزان درصد تخلخل نمونه‌ها کاهش می‌یابد. براساس مدل‌سازی‌های انجام‌گرفته، ضریب اصطکاک به صورت زبری ذرات اثر می‌کند و در نتیجه در نمونه با ضریب اصطکاک بزرگ‌تر برای حرکت ذرات ریزتر در بین ذرات پیرامونی به مقدار نیروی بیشتری نیاز است. مدل میکرومکانیک استفاده‌شده برای تحلیل خاک‌دانه‌یی در شرایط غیراشباع نشان می‌دهد که نیروهای جاذب ایجادشده در اثر مویینگی و هیسترسیس هیدرولیک می‌تواند نقش مهمی در پارامترهای معیار گسیختگی موهر - کولمب بازی کند. نیروهای جاذب مذکور، موجب ایجاد تنش کششی می‌شوند که به صورت چسبندگی در خاک ظاهر می‌شوند و سختی خاک

## پانویس‌ها

1. macroscopic
2. microscopic
3. discrete element method
4. pendular regime
5. funicular state
6. contact angle
7. wetting angle
8. gorge
9. random

## منابع (References)

1. Simpson, B. and Tatsuoka, F. "Geotechnics: The next 60 years", *Geotechnique*, **58**(5), pp. 357-368 (2008).
2. Kato, S., Yamamoto, S. and Nonami, S. "Study of the influence of adhesion force on deformation and strength of unsaturated soil by DEM analysis", In: *Rahardjo, H., et al. Editors, Proceedings of the Asian Conference on Unsaturated Soils*, Singapore (2000).
3. Bocquet, L., Charlaix, E. and Restagno, F. "Physics of humid granular media", *Comptendu de Physique de l'Academia des Sciences*, **3**(2), pp. 207-215 (2002).
4. Cundall, P.A. and Strack, O.D.L. "The distinct numerical model for granular assemblies", *Geotechnique*, **29**(1), pp. 47-65 (1979).
5. Kim, T.H. and Sture, S. "Effect of moisture on attraction force in beach sand", *Marine Georesources and Geotechnology*, **22**(1-2), pp. 33-47 (2004).
6. Lu, N. and Likos, W.J., *Unsaturated Soil Mechanics*, John Wiley & Sons, New Jersey (2004).
7. Fredlund, D.G. and Rahardjo, H., *Soil Mechanics for Unsaturated Soils*, John Wiley & Sons, New York (1993).
8. Pitotis, O. "Assemblees de grain lubrifiées: Elaboration dun systeme modele experimentale et etude de la loi de contact", *Theses de Doctorat, Ecole National des Ponts et Chaussees* (1999).
9. Mikami, T., Kamiya, H. and Horio, M. "Numerical simulation of cohesive powder behavior in a fluidized bed", *Chemical Engineering Science*, **53**(10), pp. 1927-1940 (1998).
10. Lian, G., Thornton, C. and Adams, M.J. "A Theoretical study of the liquid bridge forces between two rigid spherical bodies", *Journal of Colloid and Interface Science*, **161**(1), pp. 138-147 (1993).
11. El Shamy, U. and Groger, T. "Micromechanical aspects of the shear strength of wet granular soils", *Int. J. Num. Anal. Meth. Geomech.*, **32**(14), pp. 1763-1790 (2008).
12. Chen, Y., Zhao, Y., Gao, H. and et al. "Liquid bridge force between two unequal-sized spheres or a sphere and a plane", *Particuology*, **9**(4), pp. 374-380 (2011).
13. Scholtès, L., Chareyre, B., Nicot, F. and et al. "Discrete modelling of capillary mechanisms in multi-phase granular media", *Computer Modeling in Engineering and Sciences*, **52**(3), pp. 297-318 (2009).

14. Fisher, R.A. "On the capillary forces in an ideal soil; correction of formulae given by W. B. Haines", *J. Agric. Sci.*, **16**(03), pp. 492-505 (1926).
15. Hotta, K., Takeda, K. and Inoya, K. "The capillary binding force of a liquid bridge", *Powder Technology*, **10**(4-5), pp. 231-242 (1974).
16. Adams, M.J. and Perchard, V. "The cohesive forces between particles with interstitial liquid", *Institute of Chemical Engineering Symposium*, **91**, pp. 147-160 (1985).
17. Jiang, M. and Shen, Z. "Strength and fabric evolution of unsaturated granular materials by 3D DEM analyses", *AIP Conference Proceedings*, **1542**(1), pp. 273-276 (2013).
18. Richefeu, V., El-Yousoufi, M. and Radjai, F. "Shear strength of unsaturated soils: Experiments, DEM simulations, and micromechanical analysis", *Proceedings of the 2nd International Conference on Mechanics of Unsaturated Soils*, Weimar, Germany (2007).
19. Richefeu, V., El-Yousoufi, M. and Radjai, F. "Shear strength properties of wet granular materials", *Physical Review*, **E 73**(5: part 1), pp.1-12 (2006).
20. Muguruma, Y., Tanaka, T., Kawatake, S. and et al. "Numerical simulation of particulate flow with liquid bridge between particle, simulation of a centrifugal tumbling granulator", *Powder Technology*, **109**(1-3), pp. 49-57 (2000).
21. Yang, R.Y., Zou, R.P. and Yu, A.B. "Numerical study of the packing of wet coarse uniform spheres", *A.I.Ch.E. Journal*, **49**(7), pp. 1656-1666 (2003).
22. Tourani, K., Mahboubi, R. and Seyedi Hosseinia, E. "Discrete element method for modeling the mechanical behavior of unsaturated granular material", *Computational Methods In Engineering Isfahan University of Technology*, **35**(1), pp 157-181 (sep., 2016).
23. Kraan, M. "Techniques for the measurement of the flow properties of cohesive powders", PhD Dissertation, Delf University, Delft, Netherland (1996).